## SBHS500 を用いた無充填鋼製橋脚と CFT 橋脚の塑性域での履歴特性と FE 解析

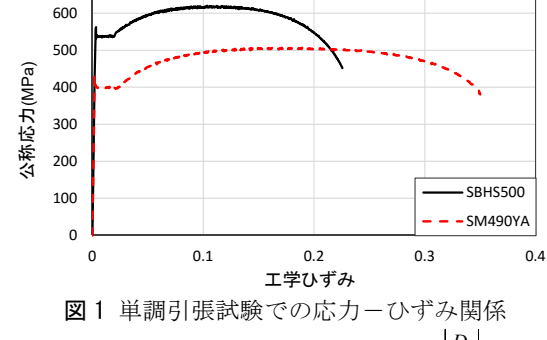
名古屋工業大学 フェロー会員 後藤 芳顯 豊田工業高等専門学校 正会員 川西 直樹 名古屋工業大学大学院 学生員 ○藤原 史 名古屋工業大学 正会員 海老澤健正 いであ株式会社 正会員 増田 賢人

1. 背景・目的: 近年開発された SBHS 鋼は従来鋼に比べ高降伏強度を有し、鋼材単価は従来鋼に比して高価である ものの単純な強度あたりのコストは従来鋼より優れている リ. しかし、SBHS 鋼を用いた構造部材の塑性域での挙 動は十分明らかにされておらず、鋼製橋脚などの耐震設計におけるエネルギー吸収部材には適用できていないのが 現状である. 著者らの SBHS 鋼材(SBHS500, SBHS700)の塑性域での繰り返しを含む材料特性についての検討  $^{2}$ で

は、図1に示すように SBHS 鋼は降伏比が大きく荷重ピーク点が 比較的小さいひずみで現れる特徴がある. そのため SBHS を用い た鋼脚では変形能が従来鋼と比べて低下する可能性が考えられ る. 本研究では、SBHS500 鋼の無充填脚と CFT 脚の縮小供試体に 対して水平1方向繰り返し載荷実験を行い, 従来鋼 SM490Y を用 いた橋脚による実験結果と比較することで SBHS500 材を鋼脚に用 いた場合の耐震性能について検討を行う. さらに, 実験結果に基づ き, SBHS 鋼を用いたエネルギー吸収部材としての設計法を確立す る上で必須となるシェル要素を用いた高精度 FE 解析についても 検討する.

2.供試体の設計と実験の方法: SBHS 鋼の塑性域を考慮した橋脚の 耐震設計法はないため、ここでは現行の耐震設計法3)を極力準用す ることで代用する. その概略は, バイリニア型移動硬化則  $(E_{5} = E_{1}/100)$ を用いたファイバーモデルで設計地震動に対する弾 塑性動的解析を行い、その最大応答変位 $\delta_{max}$ を算出し、これが許容 値 $\delta_a$ 以下であることを確認する.  $\delta_a$ の算定は, SBHS 鋼のように 知見が不足する場合,実験でこれを規定することとなっているが, ここでは、文献 2)の精緻な数値解析により水平繰り返し載荷実験 を模擬し、この包絡線のピーク点を安定限界としその時の変位を 許容値 $\delta$ 。とした. 設計条件として上載質量を 1000ton, 載荷点高さ を 10m と設定して無補剛正方形断面無充填鋼脚を設計し、それを 縮尺比 1/10 で縮小して供試体の諸元を図 2,表1のように決定し た. また、ダイヤフラムをパネル幅 B の 2 倍の高さに配置し、CFT

脚ではこのダイヤフラムまで普通 コンクリート( $\sigma_{ck}$ =18MPa)を充填 した.このため、CFT 脚での鋼脚部 は無充填鋼脚と同一諸元であり合 成効果を考慮した設計は行ってい ない. 実験では、脚柱頂部の水平変 位制御による漸増両振り繰り返し



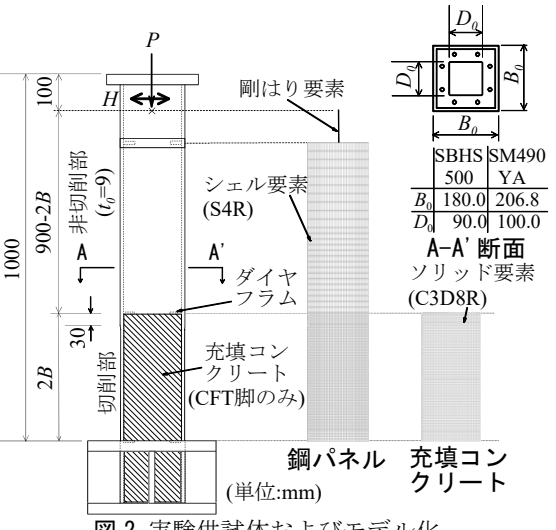


図2 実験供試体およびモデル化

表 1 供試体諸元

	鋼脚切削部		充填コ	ンクリート	水平降	水平降	幅厚比	軸力比
供試体名	板厚 t (mm)	幅 相	高の	断面積 (mm²)	伏変位 $\delta_{o}$ (mm)	伏荷重 H <sub>o</sub> (kN)	パラメー タ R	$P/P_y$
		B(mm)	(mm)	(1111112)	U	0		
SBHS500-無充填	5.98	174.40	-	-	6.99	130.5	0.735	0.046
SBHS500-CFT	5.89	174.60	348.0	$2.65 \times 10^{5}$	6.97	129.0	0.741	0.046
SM490YA-無充填	6.02	200.99	-	-	4.60	130.0	0.728	0.053
SM490YA-CFT	5.95	201.09	401.2	$3.58 \times 10^{5}$	4.58	128.7	0.736	0.053

載荷を与え, 基準振幅はいずれの橋脚でも公称値を用いた SM490Y 供試体の降伏水平変位  $\delta$  =4.0mm として、鋼脚 にき裂が発生するまで振幅を増加させた.

3. **橋脚の FE 解析**: 橋脚の解析には ABAQUS を用い, 鋼は 材料構成則に三曲面モデル 4を導入した厚肉シェル要素 (S4R)で表す. 鋼の引張に関するパラメータは図 1 に示す 一軸引張試験結果から定め、 繰り返しに関するパラメー 表 2 三曲面モデルのパラメータ

鋼種	E (GPa)	ν	$\sigma_y$ (MPa)	$\sigma_u$ (MPa)	$f_b/\sigma_y$	β	ρ	κ	ζ
SBHS500	204	0.3	544.3	684.2	0.95	1764	1.5	3.0	0.98
SM490YA	207	0.3	403.1	599.6	0.80	550	1.5	2.3	0.98

表3損傷塑性モデルのパラメータ

供試体	$E_c$ (GPa)	ν	f' <sub>c</sub> (MPa)	$\sigma_{t}$ (MPa)	$K_c$	$\sigma_{_{b0}}$ / $\sigma_{_{c0}}$	e	Ψ		
SBHS500-CFT	19.68	0.16	20.47	2.20	0.67	1.16	0.1	$10^{\circ}$		
SM490YA-CFT	23.69	0.17	23.42	2.49	0.67	1.16	0.1	10°		

SBHS500 コンクリート充填鋼製橋脚, FE 解析 連絡先 〒466-8555 愛知県名古屋市昭和区御器所町 名古屋工業大学 TEL052-735-5021 FAX052-735-5563

タは無充填橋脚の実験結果をもとにキャリブ 200 レーションを行い表2のように同定した. 充填 コンクリートは3次元ソリッド要素(C3D8R)を 用い、構成則には損傷塑性モデルを適用し、表 3にそのパラメータを示す. 境界面は, 鋼パネ ルーコンクリート間はコンタクトペアを用い るが,数値解析の収束性を考慮しダイヤフラム ーコンクリート間は接触バネ要素, コンクリー トの仮想ひび割れ面は接触バネ要素とせん断 バネ要素を用いて表現する5. 充填コンクリー トの膨張角やダイヤフラム下面と充填コンク リートとの間隙は実験結果と比較して調整し た. なお,幾何学的初期不整は十分小さいこと から無視した.

4. FE 解析の精度検証: 各供試体の実験と解析 の比較として,水平荷重-水平変位関係を図3 に示す. 履歴曲線は、FE 解析の解の収束性か ら最大で 10% まで示している. 図中の×印と サイクル数はき裂発生点を示す. 図 3(b),(d)よ り, SM490Y では無充填脚と CFT 脚とも解析 は実験結果と概ね一致しており精度が良い.一 方, 図 3(a),(c)の SBHS500 では無充填脚と CFT 脚とも実験と比べ解析では荷重がやや低 めに出る傾向があり SM490Y ほど再現性は高 くない. 精度をさらに向上するには, 構成則と して用いた三曲面モデルの改良が必要である. 5. 脚柱の挙動特性: 各供試体の履歴曲線の包絡 線および各橋脚の水平復元力-吸収エネルギ  $-A_F$ 関係の包絡線をそれぞれ $\mathbf{Z}$ 4,  $\mathbf{Z}$ 5 示す.  $A_E$ は式(1)で算定した.

$$A_E = \int H_x d\delta_x \tag{1}$$

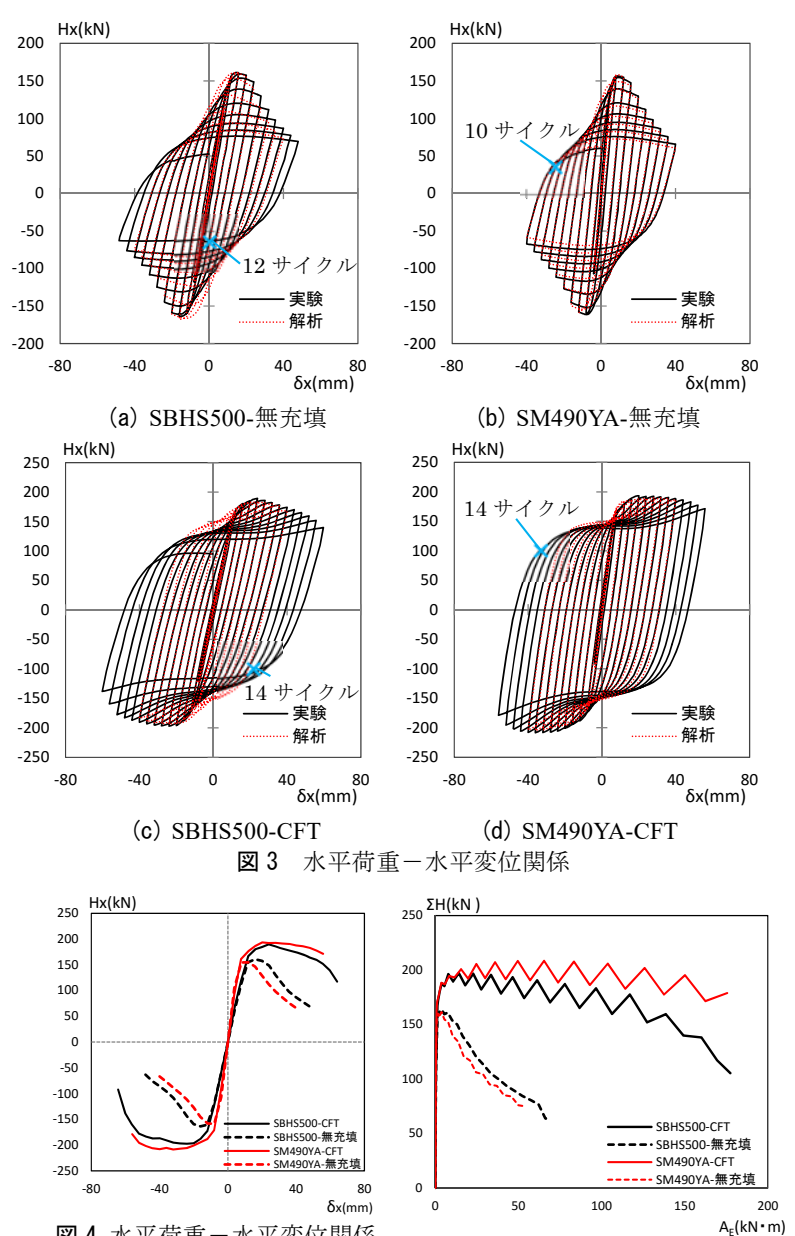


図5 水平荷重-吸収エネルギー関係

図4 水平荷重-水平変位関係 (1) 包絡線

図 5 の水平復元カー吸収エネルギー関係がの こぎり状となっているのは, 正方向と負方向の水平荷重の絶対値に差があるためであり, 試験機の特性が原因で あると考える. 図4より無充填脚では、SM490Yと比べてSBHS500の方がピーク点以降の軟化が緩く変形能に優 れている. これは、表1に示すように SBHS500 による橋脚では断面寸法が小さく曲げ剛性が低くなることと、降 伏強度が高いことによると考えられる. これは、 $\delta_0$ の値が SM490Y 橋脚の 1.6 倍ほど大きくなっていることから もわかる. 一方、CFT 化で SBHS500 の橋脚は無充填の場合と比べてエネルギー吸収能は 3 倍程度向上するもの の, 充填コンクリートの断面が SM490Y の橋脚に較べ小さいためその効果は SM490Y と比べると小さい. これは, 充填コンクリートに同一の設計基準強度の材料を用いているため、断面積が 26%小さい SBHS500 の橋脚では SM490Y よりも充填コンクリートの効果が小さくなったと考えられる.

6. まとめと課題: SBHS500 鋼の塑性域を考慮して耐震設計された無充填脚とこれにコンクリートを充填した CFT 脚の耐震性能を実験および数値解析により検討した. その結果, FE 解析による鋼製橋脚の履歴挙動の再現精度は, SBHS500 では従来鋼の SM490Y に比べてやや劣っており、今後 SBHS 鋼に対する三曲面モデルの改良が必要であ ることが分かった. また, 無充填橋脚では SM490Y に比べ断面の小さい SBHS500 の橋脚の方が耐震性能に優れ る. 一方, CFT 化で SBHS500 の橋脚は無充填脚と比べて耐震性能は大きく向上するものの, 充填コンクリートの 断面が SM490Y の橋脚に較べ小さいためその効果は SM490Y と比べると小さい.

参考文献: 1) 新しい高性能鋼材の利用技術調査研究小委員会:新しい高性能鋼材の利用技術調査研究報告書,2009. 2) 中村 ら:,土木学会全国大会第 67 回年次学術講演会,I-45,2012. 3) 日本道路協会:道路橋示方書・同解説 V 耐震設計編,2014. 4)後藤ら: 土木学会論文集, No.780/I-70, pp.181-198, 2005. 5)後藤ら: 土木学会論文集 A, Vol.66, No.4, pp.816-835, 2010.